

KAWASAKI STEEL GIHO

Vol.16 (1984) No.4

Spot-

スポット溶接の可能な複合型制振鋼板「ノンビブラ」^{*1}

川崎製鉄技報
16 (1984) 4, 288-295

篠崎 正利^{*2} 松本 義裕^{*3} 西田 稔^{*4} 入江 敏夫^{*5} 古川 幸夫^{*6} 高崎 順介^{*7}

Spot-Weldable Composite Damping Steel Sheets "NONVIBRA"

Masatoshi Shinozaki, Yoshihiro Matsumoto, Minoru Nishida, Toshio Irie, Yukio Furukawa, Junsuke Takasaki

要旨

Synopsis:

鋼板と鋼板の間に粘弹性樹脂を挟み込んだ複合型制振鋼

Composite damping steel sheets which are composed of two steel-sheet skin

Table 2 Properties of conventional composite damping steel sheets

Table 3 Materials used for the test

Material	Characteristics
----------	-----------------

にそれぞれ損失係数、スポット溶接継手強度および鋼板と樹脂の間

鋼板と樹脂の間の接着強度は JIS K 6850 に準拠して行った。試

制振性能を示す損失係数 (Q^{-1}) は機械インピーダンス法⁵⁾によ
り $20^{\circ}\text{C} \sim 120^{\circ}\text{C}$ の温度範囲で求めた。試験片は水立に開き、直

ターで切れ目を入れ、剪断剝離力を測定して単位面積当たりの強度で
表した。かね試験片の刃度は $-20^{\circ}\text{C} \sim 100^{\circ}\text{C}$ の範囲における

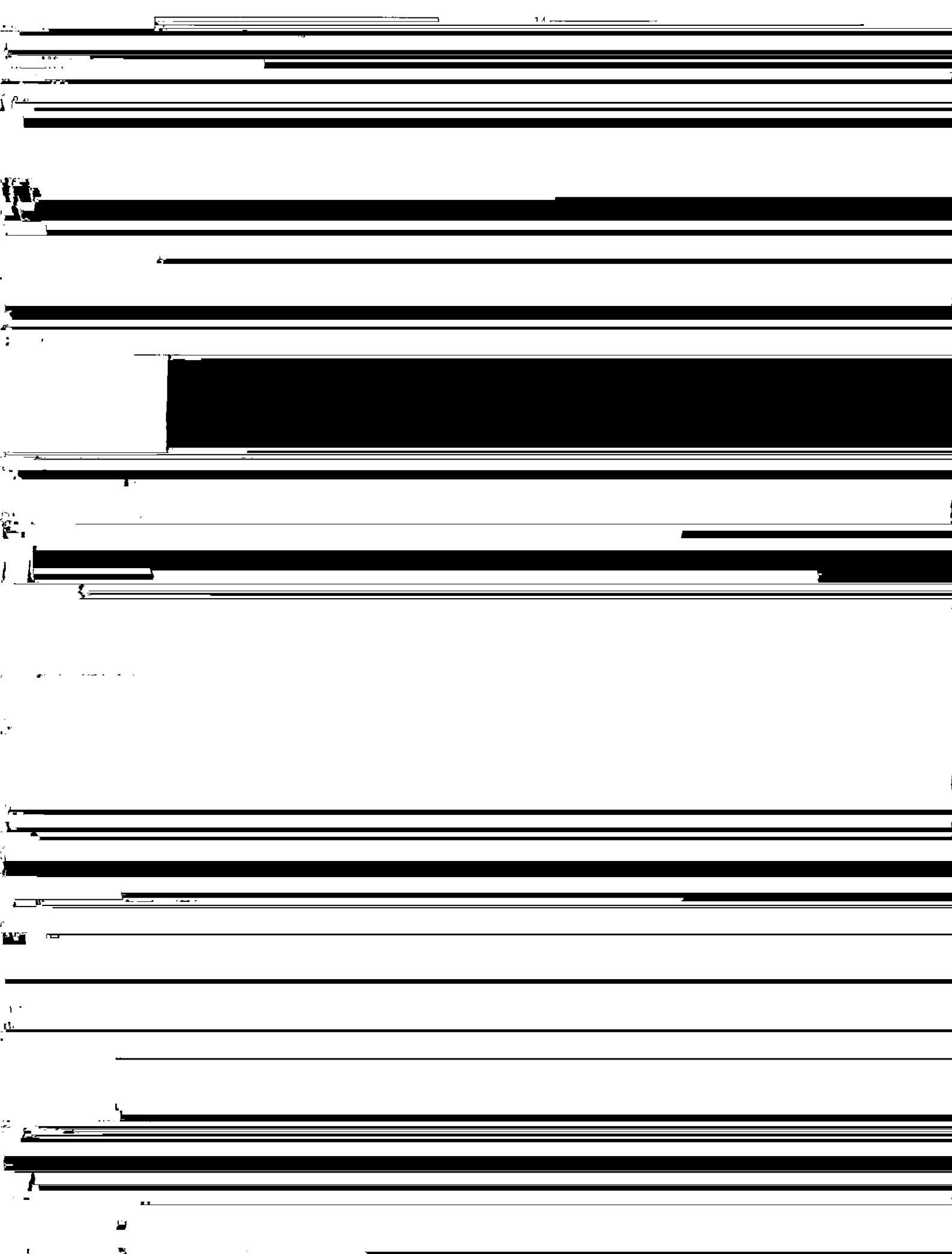


Figure 9. A schematic diagram of the experimental setup used to measure the effect of the magnetic field on the growth rate of the film. The inset shows the optical micrograph of the film surface.

以上のとおり、新規抑制錠板による支持部密接性を確保する手段

Table 6 Mechanical properties of composite damping steels

Steel	Direction	YS (kgf/mm ²)	ST (kgf/mm ²)	E _l (%)	Y.E _l (%)	r	LDR
-------	-----------	------------------------------	------------------------------	-----------------------	-------------------------	---	-----

